

Рис. 3. Зависимости относительной длины факела от  $\alpha$  (сплошные линии) и  $m$  (штриховая линия).

1—3 —  $m=0$ ,  $\varphi=0$ ; 20 и  $70^\circ$ ; 4 —  $\varphi=70^\circ$ ,  $\alpha=0,75$ .

ллению интенсивности тепловыделения и эжекционной способности факела, расширению эффективных границ и уменьшению его длины (рис. 2, а, б).

Наряду с круткой существенное влияние на структуру факела оказывает и коэффициент избытка воздуха  $\alpha$ . При возрастании  $\alpha$  до 0,89 процесс горения в слабозакрученном факеле интенсифицируется, фронт горения приближается к соплу, сокращается длина начального участка и всего факела (рис. 3), увеличивается скорость затухания полного давления (см. рис. 2, а, б).

Противоположная картина, вследствие обеднения горючей смеси, наблюдается при дальнейшем возрастании  $\alpha$  до значений, больших 1. Профили концентрации  $O_2$ ,  $CO_2$  и  $CO$ , измеренные при различных  $\alpha$ , полностью со-

гласуются с описанными закономерностями развития факела. На сильнозакрученном факеле, отличающемся устойчивым и высоконапряженным горением, влияние  $\alpha$  скаживается значительно слабее (см. рис. 2, а, б).

Эффективное воздействие на структуру закрученного факела оказывает также и параметр спутности  $m$ . Как и в прямоточном факеле, с ростом скорости спутного потока воздуха зона интенсивного горения отодвигается от сопла, возрастает длина начального участка и общая длина факела (см. рис. 3), замедляются процессы турбулентного обмена, рассеивание полного давления и темп возрастания температуры вдоль горячей струи заметно спадает. Происходит значительное уменьшение интенсивности тепловыделения по длине факела и присоединенной массы. Эта картина наблюдается при всех значениях параметра  $\alpha$  и начальной крутки.

Таким образом, изменения начальной крутки струи, доли первичного воздуха в однородной горючей смеси и скорости спутного потока оказывают активное влияние на закономерности развития и структуру газового факела и могут служить эффективными средствами для его управления.

Поступила в редакцию  
5/XI 1979

#### ЛИТЕРАТУРА

1. А. Червинский. Ракетная техника и космонавтика, 1969, 7, 10, 69.
2. Д. Лилл. Ракетная техника и космонавтика, 1977, 15, 8, 12.

#### ЭКСПЕРИМЕНТАЛЬНОЕ ОПРЕДЕЛЕНИЕ КОЭФФИЦИЕНТА ДИССОЦИАТИВНОЙ РЕКОМБИНАЦИИ

Г. С. Драган, Т. Н. Кадыров, А. А. Мальгота,  
Ю. В. Соколов, М. Н. Чесноков  
(Одесса)

Для проведения расчетов закаленных концентраций заряженных частиц в расширяющихся газовых струях продуктов сгорания углеводородных горючих смесей используются значения коэффициентов электронно-ионной рекомбинации  $\alpha$ . Теоретические расчеты коэффициента диссоциативной рекомбинации в зависимости от температуры проведены в [1]. Показано, что значения  $\alpha$  лежат в пределах  $10^{-6}$ — $10^{-7}$  см<sup>3</sup>/с, однако ввиду сильной зависимости закаленных концентраций от  $\alpha$  [2] необходимо его экспериментальное измерение.

В настоящей работе экспериментально определялся коэффициент диссоциативной рекомбинации в продуктах сгорания углеводородной горючей смеси при пониженном давлении окружающей среды. Для проведения экспериментов сконструиро-

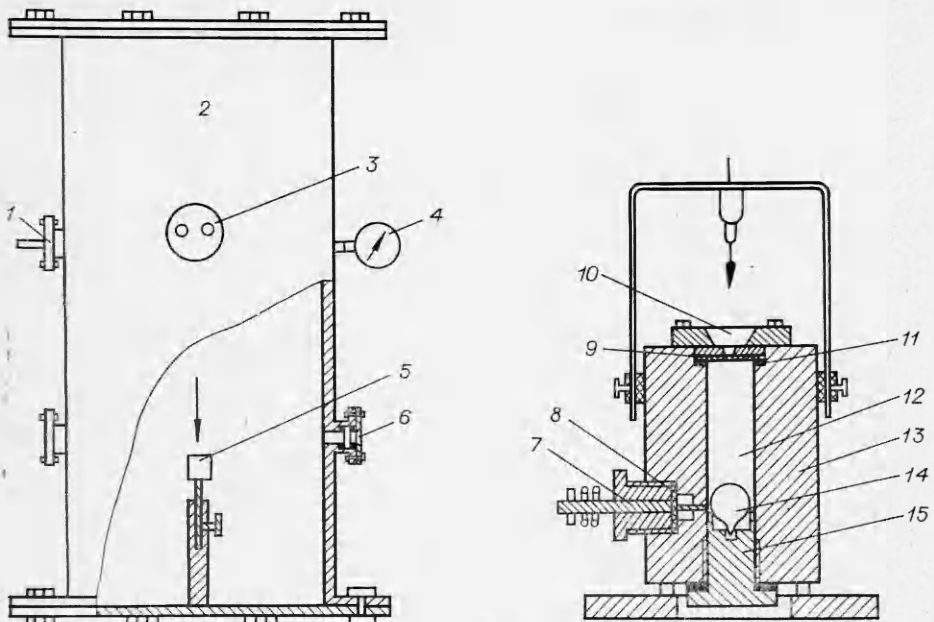


Рис. 1.

вана и собрана установка. При этом учитывались условия сгорания углеводородных смесей в камере при повышенных давлениях и распространения продуктов сгорания в факеле, расширяющемся в вакуум. Такие условия характеризуются охлаждением газовой фазы продуктов сгорания и «замораживанием» плазменных концентраций в факеле. Изменение концентрации заряженных частиц (ионов и электронов) в факеле со временем вызвано в основном рекомбинационными процессами и амбиполярной диффузией.

Блок-схема установки приведена на рис. 1. В вакуумной камере 2 устанавливается импульсный источник плазмы 5. Корпус источника 13 содержит реакционную камеру 12, в нижнее отверстие которой ввинчена заглушка 15. В верхней части реакционной камеры закрепляется выходное сопло 10. Заглушка изготовлена в виде стаканчика, в который непосредственно заправляется горючее и вкладывается стеклянная ампула 14 с окислителем. Соединение окислителя с горючим происходит при разрушении ампулы ударником 7. Ударное устройство приводится в действие через сильфон в окне 1 с помощью рычага. Для предотвращения испарения горючего в вакуум реакционная камера отделяется от вакуумной пленкой 8 и 9 и имеет вакуумное уплотнение 11. Давление в камере измеряется вакуумным манометром 4. В окне 3 вмонтированы разъемы для электрических измерений. Окна 6 предназначены для наблюдений.

При соединении исходных компонентов в реакционной камере происходит их самовоспламенение, в результате чего мгновенно возрастает давление, и продукты горения, пробивая защитную пленку, распространяются в вакуумной камере. Длительность вспышек равна  $(5 \div 6) \cdot 10^{-3}$  с. Эксперименты проводились при стехиометрическом составе смеси. Контроль осуществлялся при заправке окислителя в стеклянные ампулы и горючего в реакционную камеру путем взвешивания компонентов. При этом считалось, что при самовоспламенении происходит достаточно хорошее перемешивание окислителя с горючим за счет резкого повышения давления и температуры в камере и последующего испарения компонентов.

Основным методом определения коэффициента рекомбинации является измерение скорости спада плазмы. Метод по существу сводится к измерению концентрации свободных электронов или ионов в различные моменты времени в процессе деионизации газа. В распадающейся плазме изменение концентрации заряженных частиц с течением времени описывается уравнением

$$dn/dt = D\nabla^2 n - \alpha n^2, \quad (1)$$

где  $D$  — коэффициент амбиполярной диффузии;  $n$  — концентрация положительных ионов;  $t$  — время;  $\alpha$  — коэффициент рекомбинации.

Поскольку эксперименты проводились при давлении 10 мм рт. ст., то эффект амбиполярной диффузии незначителен и первым членом в уравнении (1) можно пренебречь, т. е.

$$dn/dt = -\alpha n^2, \quad (2)$$

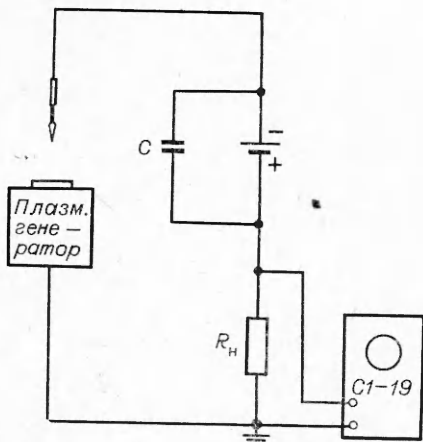


Рис. 2.

бовало создания специального охлаждающего устройства для исключения термоэлектронной эмиссии с зонда. Зондовый ток регистрировался осциллографом С1-19.

Зонд работал в режиме ионного тока насыщения. Для этого на него подавался заведомо большой отрицательный потенциал. Известно [4], что ток насыщения ионов выражается в виде

$$I = 1/4 \cdot e n \bar{v} s, \quad (4)$$

где  $e$  — заряд электрона;  $n$  — концентрация ионов;  $\bar{v} = \sqrt{8kT/m}$  — тепловая скорость ионов;  $s$  — эффективная площадь зонда. Из (4) следует, что благодаря слабой зависимости тока насыщения от температуры спад тока со временем в распадающейся плазме соответствует спаду ионной концентрации. В этом случае, выражая уравнение (2) через величину тока, можно записать

$$di/dt = a_1 i,$$

откуда

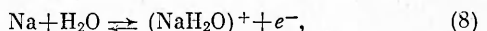
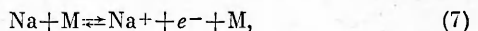
$$a_1 = (1/i - 1/i_0)/(t - t_0). \quad (5)$$

Используя формулы (3) — (5), находим выражение для экспериментального определения коэффициента рекомбинации из кривых спада ионного тока

$$\alpha = 1/4 \cdot a_1 e \bar{v} s. \quad (6)$$

Эксперименты проводились при давлении окружающей среды 10 мм рт. ст. Среднее значение температуры продуктов горения составляло 2000 К. Парциальное давление паров воды в продуктах горения углеводородных горючих смесей значительно превышает парциальные давления  $N_2$ ,  $CO_2$ ,  $CO$ ,  $OH$ ,  $O_2$ ,  $H_2$  [5]. Потенциалы ионизации этих газов довольно высокие (более 10 эВ), поэтому степень их термической ионизации небольшая. Концентрация атомов натрия определялась по интенсивности спектральных линий и не превышала значения  $\sim 10^{11} \text{ см}^{-3}$ .

Образование заряженных частиц в продуктах горения, содержащих пары воды и примесь щелочного металла, описывается реакциями [6]



где  $M$  — любая частица.

Для установления ведущей роли одной из двух реакций необходимо оценить вклад каждой из них в образование заряженных частиц. С этой целью проводилось экспериментальное определение концентрации электронов  $n_e$  в продуктах горения исследуемых смесей. Получено  $n_e = (2 \div 5) \cdot 10^{10} \text{ см}^{-3}$ . Рассчитанное значение концентрации электронов, возникающих в результате термической ионизации атомов натрия, не превышает  $1,5 \cdot 10^9 \text{ см}^{-3}$ . Сопоставление экспериментальных и расчетных значений  $n_e$  свидетельствует о незначительной роли реакции (7) в образовании и исчезновении заряженных частиц.

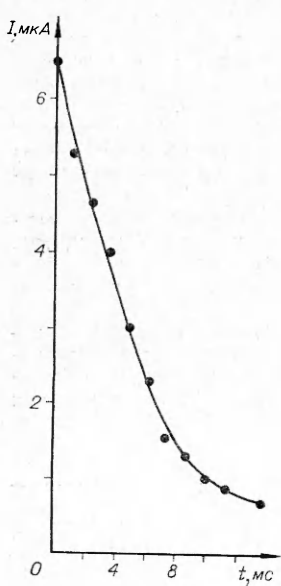


Рис. 3.

$$\text{откуда } a = (1/n - 1/n_0)/(t - t_0). \quad (3)$$

Индекс 0 означает начальное время в опыте.

Для определения спада концентрации ионов со временем использовалась однозондовая схема (рис. 2). Емкость  $C$  подбиралась таким образом, чтобы  $RC \gg \tau$ , где  $R$  — сопротивление активной цепи;  $\tau$  — длительность измерений. Зонд из молибденовой проволочки диаметром 0,3 мм устанавливался навстречу потоку. Для предотвращения попадания твердых частиц или жидких капель на рабочую поверхность зонда последний снабжался обтекателем из изоляционного материала. Как показано в работе [3], зонд с обтекателем можно применять для снятия вольт-амперных характеристик в движущейся плазме с содержанием аэрозольных частиц. Кратковременность воздействия плазмы не тре-

Отсюда следует, что в продуктах сгорания углеводородной горючей смеси при  $T = 2000$  К и  $n_e = 10^{11}$  см<sup>-3</sup> процессы ионизации и рекомбинации протекают по реакции (8).

На рис. 3 приведена типичная зависимость ионного тока насыщения от времени в продуктах сгорания углеводородной горючей смеси с примесью натрия. Значение  $\alpha$ , вычисленное по этой кривой, составляет  $2,3 \cdot 10^{-7}$  см<sup>3</sup>/с. Экспериментальные значения коэффициента диссоциативной рекомбинации, соответствующие скорости обратных процессов в реакции (8), равны 3,15; 1,8; 5,2; 1,4;  $2,3 \cdot 10^{-7}$  см<sup>3</sup>/с. Полученные значения  $\alpha$  хорошо согласуются с теоретическими расчетами [1]. В работе [7] приведены расчеты коэффициента  $\alpha$  с использованием значений энергии связи молекул  $(\text{NaH}_2\text{O})^+$  50, 28 и 10 ккал/моль. Сравнение с полученными в настоящей работе данными показывает, что лучшее совпадение наблюдается, если брать значение энергии связи молекул 28 ккал/моль, рассчитанные Сагденом.

Таким образом, результаты, полученные на экспериментальной установке при сжигании углеводородных смесей с примесью натрия, подтверждают наличие в продуктах сгорания реакции (8) и могут быть использованы для расчетов кинетики электронных процессов.

Поступила в редакцию  
21/XI 1979

#### ЛИТЕРАТУРА

1. Д. Бейтс, А. Далгарно. Атомные и молекулярные процессы. М., Мир, 1964.
2. Г. С. Аравин, Н. М. Кузнецов, Ю. С. Саясов. — В сб.: Низкотемпературная плазма. М., Мир, 1967.
3. М. К. Гладышев, В. А. Горелов. ТВТ, 1976, 4.
4. О. В. Козлов. Электрический зонд в плазме. М., Атомиздат, 1969.
5. Н. Ф. Дубовкин. Справочник по углеводородным топливам и их продуктам сгорания. М.—Л., ГЭИ, 1962.
6. R. J. Paddle, T. M. Sugden. VIII-th Sump. (Intern.) on Combustion, Baltimore, 1962.
7. Н. И. Ющенко, В. И. Немченко, С. А. Лыжникова. — В сб.: Низкотемпературная плазма. М., Мир, 1967.

#### ЭКСПЕРИМЕНТАЛЬНОЕ ИССЛЕДОВАНИЕ ТЕПЛОСТОЙКОСТИ МАТЕРИАЛОВ В ВЫСОКОТЕМПЕРАТУРНЫХ КИСЛОРОДСОДЕРЖАЩИХ СРЕДАХ

B. E. Абалтусов, A. P. Баграмян, A. M. Гришин, B. I. Юхвид  
(Томск)

В последнее время актуальным становится вопрос о тепловой защите гиперзвуковых аппаратов [1, 2]. С целью выявления наиболее эффективных материалов для систем тепловой защиты таких аппаратов проводилось экспериментальное исследование взаимодействия ряда материалов (графиты марок АРВ, ПГ-50, В-1, вольфрам и карбид хрома) с высокотемпературной средой, содержащей окислитель.

В работе использован литьй карбид хрома с массовым содержанием углерода  $C_{\text{вла}} = 13,1\%$ , полученный методом СВС [3—5]. Суммарное содержание примесей ( $\text{Al}$ ,  $\text{O}_2$ ,  $C_{\text{своб}}$ ) не превышало 1%. В качестве исходных компонентов для синтеза карбида хрома использован порошок хромового ангидрида  $\text{CrO}_3$  (ГОСТ 3776-6), алюминия (АСД1) и сажи (ПМ-15Т).

Сравнительные испытания полусферических моделей, изготовленных из исследуемых материалов, проводились в струе ацетилено-кислородного газогенератора с параметрами  $T_e = 3000$  К,  $u_e = 40$  м/с,  $C_e = 0,2$ , где  $T_e$ ,  $u_e$  — температура и скорость потока на оси струи,  $C_e$  — концентрация кислорода соответственно. Необходимый объем информации, получаемой при испытаниях, обеспечивался измерением температуры поверхности  $T_w$  в функции от времени  $t$  и определением скорости массового уноса с поверхности образцов  $(\rho v)_w$  в функции от  $T_w$  по методике, описанной в работе [6]. С целью идентификации процессов тепломассообмена, протекающих на поверхности, проводилось обезразмеривание скорости массового уноса:  $(\bar{\rho}v)_w = \frac{(\rho v)_w^*}{(\rho v)_w}$ , где  $(\rho v)_w^*$  — скорость уноса массы с поверхности эталонного образца (В-1),  $(\rho v)_w$  — скорость уноса массы с поверхности исследуемого образца.